

## اثر وشکسانی و هدایت حرارتی پلاسما در میرائی امواج MHD

محمود صالحی و صمد خاکشورنیا

دانشکده مهندسی مکانیک  
بخش مهندسی هسته‌ای  
دانشگاه صنعتی شریف  
تهران، جمهوری اسلامی ایران

### چکیده

با استفاده از معادلات MHD، نقش ضرائب وشکسانی (ویسکوزیته) و هدایت حرارتی پلاسما در میرائی امواج MHD بطور کلی ارائه می‌گردد و با استفاده از روش اختلال، معادلات MHD برای پلاسماهای استوانه‌ای شکل و طویل حل می‌گردد. سپس با اعمال شرائط مرزی موجود یک رابطه پاشندگی برای امواج MHD که در امتداد ستون پلاسما منتشر می‌گردد بدست می‌آید. در انتها ضریب میرائی امواج MHD بطور تقریبی تعیین شده است.

میرائی امواج در امتدادهای مختلف، متفاوت است

(۲).

### تئوری

هرگاه فرکانس نوسانات ایجاد شده در پلاسما نسبت به فرکانس متوسط برخورد بین ذرات باردار کوچک باشد، الکترونها و یونها همواره خنثائی الکتریکی را بطور موضعی حفظ نموده و بعلت کوچکی پویش متوسط آزاد ذرات، از جدایش بار جلوگیری می‌نمایند. به منظور مطالعه چنین نوساناتیکه امواج MHD نامیده می‌شوند. مجموعاً "معادلات MHD که تحت آن پلاسما به عنوان یک سیال منفرد با دانسیته جرمی  $(\vec{v}$  و  $t)$ ،  $\rho$ ، سرعت  $(\vec{v}$  و  $t)$  و درجه حرارت  $(\vec{v}$  و  $t)$  رفتار می‌شود بکار می‌رود (۳ و ۴).

$$-\frac{\partial \rho}{\partial t} + \vec{\nabla} \cdot (\rho \vec{v}) = 0 \quad (1)$$

### مقدمه

وجود وشکسانی و هدایت حرارتی پلاسما موجب میرائی امواج (magnetohydrodynamic) در حین انتشار آنها در پلاسما می‌گردد. در این مقاله کوشش شده است با استفاده از معادلات MHD نقش ضرائب وشکسانی و هدایت حرارتی پلاسما در میرائی امواج MHD بطور کمی ارائه گردد (۱). برای این منظور با بکار بردن روش اختلال معادلات MHD را برای پلاسماهای استوانه‌ای شکل و طویل حل نموده و سپس با اعمال شرائط مرزی موجود یک رابطه پاشندگی برای امواج MHD که در امتداد ستون پلاسما منتشر می‌گردد بدست آورده و با استفاده از آن بطور تقریبی ضریب میرائی امواج MHD تعیین گردیده است. نتایج حاصله نشان می‌دهد که ضریب میرائی امواج با مجذور فرکانس افزایش می‌یابد. همچنین تاثیر ضرائب وشکسانی و هدایت حرارتی پلاسما بر

م. صالحی و ص. خاکشورنیا. اثر وشکسانی و هدایت حرارتی پلاسما در میرایی امواج MHD

ذرات پلاسما، معادله حالت بصورت زیر است:

$$P = \rho RT \quad (5)$$

که در آن R ثابت گازهاست.

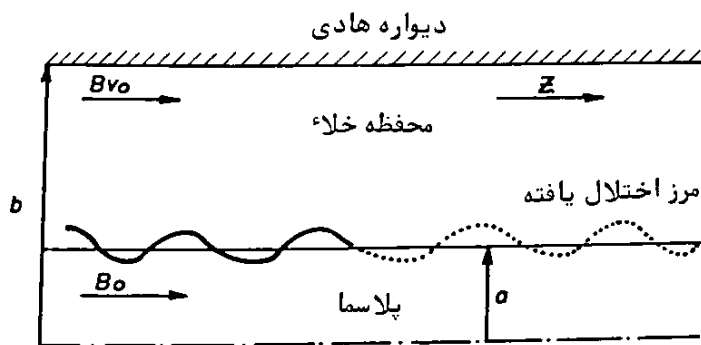
برای بررسی میرایی امواج MHD در حضور وشکسانی و هدایت حرارتی پلاسما، ستونی طویل از پلاسما را که تحت میدان مغناطیسی محوری و یکنواخت  $B_0$  در تعادل استاتیک قرار دارد، مطابق شکل زیر در نظر گرفته شده است. در این حالت دانسیته پلاسما  $\rho_0$  و در درجه حرارت آن  $T_0$  است. در این شکل، شعاع تعادلی پلاسما،  $a$  فاصله دیواره هادی تا محور و  $B_0$  و  $B_{V_0}$  به ترتیب میدان های مغناطیسی تعادلی در محفظه خلاء و پلاسما می باشند. با تغییر میدان مغناطیسی سیستم از حالت تعادلی خارج شده و مرز تعادل بین پلاسما و خلاء تغییر می کند. در صورتیکه دامنه کمیت های اختلال یافته کوچک باشد با صرف نظر کردن از توانهای دوم به بالای دامنه می توان معادلات MHD را با روش خطی کردن نسبت به دامنه اختلالات حل نمود. برای این منظور کمیت های

$$\rho \left( \frac{\partial \vec{v}}{\partial t} + (\vec{v} \cdot \nabla) \vec{v} \right) = -\nabla P - \frac{1}{4\pi} \nabla \times (\vec{v} \times \vec{B}) + \eta \nabla^2 \vec{v} + \frac{1}{3} \eta \nabla (\nabla \cdot \vec{v}) \quad (2)$$

$$\rho c_v \left( \frac{\partial T}{\partial t} + (\vec{v} \cdot \nabla) T \right) = -\nabla \cdot \vec{q} + \sum_{i,j} \Pi_{ij} \frac{\partial v_j}{\partial x_i} + \nabla \cdot (K \nabla T) \quad (3)$$

$$\frac{\partial \vec{B}}{\partial t} = \nabla \times (\vec{v} \times \vec{B}) \quad (4)$$

بطوریکه P فشار پلاسما،  $\vec{E}$  میدان الکتریکی،  $\vec{B}$  میدان مغناطیسی،  $c_v$  گرمای ویژه حجم ثابت پلاسما،  $\Pi_{ij}$  تانسور تنش وشکسانی و  $\eta$  و  $K$  به ترتیب ضرائب ویسکوزیته و هدایت حرارتی پلاسما هستند. به معادلات فوق یک رابطه دیگر موسوم به معادله حالت اضافه می گردد. برای توزیع ماکسول بولتزمن



شکل ۱- پلاسما می محصور شده توسط میدان مغناطیسی محوری.

Z مومنتوم و انرژی بر حسب کمیت‌های بدون بعد به ترتیب زیر خواهد شد.

$$\left(\frac{\rho_1}{\rho_0}\right) = -\left(\frac{r_1}{r}\right) - \left(\frac{\partial r_1}{\partial r}\right) + \left(\frac{k'}{\omega}\right) v_{1z} \quad (8)$$

$$\left(\frac{\omega^2}{k'^2 R T_0} + \frac{1 \eta_{\parallel}^1 \omega}{R \rho_0 T_0}\right) \left(\frac{k'}{\omega}\right) v_{1z} = \left(\frac{T_1}{T_0}\right) + \left(1 - \frac{1 \eta_{\parallel}^1 \omega}{3 R \rho_0 T_0}\right) \left(\frac{\rho_1}{\rho_0}\right) \quad (9)$$

$$\left(\frac{C_v}{R} + \frac{1 k' z K^e}{R \omega \rho_0}\right) \left(\frac{T_1}{T_0}\right) = \left(\frac{\rho_1}{\rho_0}\right)$$

$$+ \left(\frac{1 K_{\parallel}^1}{R \rho_0 T_0 \omega}\right) \left(\frac{1}{r} \frac{\partial}{\partial r} \left(r \frac{\partial T_1}{\partial r}\right)\right) \quad (10)$$

بطوریکه  $\eta_{\parallel}^1$  و  $K_{\parallel}^e$  به ترتیب شکسانی یون و هدایت حرارتی الکترون در امتداد میدان مغناطیسی و  $K_{\parallel}^1$  ضریب هدایت حرارتی یون در امتداد عمود بر میدان است.

روابط فوق، کمیت‌های اختلال یافته  $\rho_1$  و  $T_1$  را بر حسب شعاع اختلال یافته  $r_1$  و مشتقات آن نسبت به  $r$  نشان می‌دهد. برای تعیین چگونگی تغییرات  $r_1$  بر حسب  $r$ ، مولفه  $r$  معادله مومنتوم را در مختصات استوانه‌ای نوشته و با استفاده از روش اختلال و خطی کردن نسبت به کمیت‌های اختلال، آنرا بصورت زیر در می‌آوریم:

$$\begin{aligned} -\rho_0 \omega^2 r_1 = & -R \rho_0 \frac{\partial T_1}{\partial r} - R T_0 \frac{\partial \rho_1}{\partial r} \\ & - 1 \omega \eta_{\parallel}^1 \frac{1}{r} \frac{\partial}{\partial r} \left(r \frac{\partial r_1}{\partial r}\right) + 1 \omega \eta_{\parallel}^1 k' z r_1 \\ & + 1 \omega \eta_{\parallel}^1 \frac{r_1}{r^2} + \frac{1 \omega \eta_{\parallel}^1}{3 \rho_0} \frac{\partial \rho_1}{\partial r} \\ & + \frac{1}{4 \pi} B_0 \left(\frac{\partial B_{1r}}{\partial z} - \frac{\partial B_{1z}}{\partial r}\right) \end{aligned}$$

متغیر پس از اختلال را بصورت زیر می‌نویسیم:

$$\begin{aligned} \vec{B}_0 &= \vec{B}_{0\theta} + \vec{B}_{1\theta}(r, z, t) \\ \vec{B} &= \vec{B}_0 + \vec{B}_1(r, z, t) \\ \rho &= \rho_0 + \rho_1(r, z, t) \\ T &= T_0 + T_1(r, z, t) \\ v_z &= v_{z0} + v_{1z}(z, t) \quad v_{z0} = 0 \\ r &= r_0 + r_1(r, z, t) \quad 0 < r_0 < a \end{aligned} \quad (6)$$

بطوریکه جملات اول، کمیت تعادلی و جملات دوم کمیت اختلال یافته را با تقارن محوری مشخص می‌کند. همچنین  $v_z$  مولفه سرعت پلاسما در جهت محوری Z و  $r_0$  فاصله شعاعی المان پلاسما در حالت تعادل و  $r_1$  جابجائی آن از حالت تعادل در لحظه t می‌باشد. حال با توجه به وضع هندسی سیستم مورد نظر، فرض می‌کنیم کمیت‌های اختلال بصورت زیر نوسان کند:

( $\omega$  فرکانس و  $K$  عدد موج نوسانات است)

$$\begin{aligned} \vec{B}_1 &= \vec{B}_1(r) e^{i k' z - i \omega t} \\ \vec{B}_{1\theta} &= \vec{B}_{1\theta}(r) e^{i k' z - i \omega t} \\ \rho_1 &= \rho_1(r) e^{i k' z - i \omega t} \\ T_1 &= T_1(r) e^{i k' z - i \omega t} \\ v_{1z} &= v_{1z} e^{i k' z - i \omega t} \\ r_1 &= r_1(r) e^{i k' z - i \omega t} \end{aligned} \quad (7)$$

سپس اگر با روش فوق معادلات MHD در مختصات استوانه‌ای را با در نظر گرفتن تقارن محوری ( $\frac{\partial}{\partial \theta} = 0$ ) تحلیل کنیم، نتیجه برای معادلات پیوستگی، مولفه

با در نظر گرفتن تغییراتی مشابه با روابط ۷ برای  $\vec{A}$  و استفاده از روش اختلال برای ۱۶، تغییرات مولفه  $\theta$  پتانسیل اختلال یافته در ناحیه خلا، یعنی  $A_{1\theta}$  بر حسب ۲، به صورت معادله زیر بیان می‌گردد:

$$\frac{d^2 A_{1\theta}}{dr^2} + \frac{1}{r} \frac{dA_{1\theta}}{dr} - (k'^2 + \frac{1}{r^2}) A_{1\theta} = 0 \quad (17)$$

معادله ۱۷ نیز معادله تعمیم یافته بسل است و جوابهای آن عبارتند از:

$$A_{1\theta} = C_3 I_1(k'r) + C_4 K_1(k'r) \quad (18)$$

برای تعیین ثابتهای  $C_1, C_2, C_3, C_4$  در جوابهای روابط ۱۲ و ۱۸، شرائط مرزی ذیل را در نظر می‌گیریم (۵ و ۶).

الف - بازای  $r=0$  دامنه شعاع اختلال یافته یعنی  $r_1$  بایستی محدود باشد. بنابراین ثابت  $C_2$  در معادله ۱۲ صفر است و خواهیم داشت:

$$r_1 = C_1 I_1(\lambda r) \quad (19)$$

ب - اگر دیواره احاطه‌کننده ناحیه خلا، از نوع هادی کامل انتخاب شود، آنگاه مولفه موازی با سطح دیواره میدان الکتریکی خلا صفر است.

$$\hat{n} \times \vec{E}_v \Big|_{r=b} = 0 \quad (20)$$

از شرط مرزی ۲۰، رابطه زیر بین ثابتهای  $C_3$  و  $C_4$  نتیجه می‌شود:

$$C_3 = - \frac{K_1(k'b)}{I_1(k'b)} C_4$$

بنابراین  $A_{1\theta}$  خواهد شد:

$$A_{1\theta} = C_4 \left( - \frac{K_1(k'b)}{I_1(k'b)} I_1(k'r) + K_1(k'r) \right)$$

$\eta_{\perp}^1$  وشکسانی یون در امتداد عمود بر میدان مغناطیسی است.)

با مشتق‌گیری از طرفین روابط ۸ و ۹ بر حسب  $r$ ، عبارات  $\frac{\partial \rho_1}{\partial r}$  و  $\frac{\partial T_1}{\partial r}$  را می‌توان بر حسب  $r_1$  و مشتقات آن نوشت. همچنین با توجه به معادله ۴ و بکار بردن روش اختلال برای آن عبارات  $\frac{\partial B_{1z}}{\partial r}$  و  $\frac{\partial B_{1r}}{\partial z}$  بر حسب  $r_1$  و مشتقات آن قابل حصول هستند. به این ترتیب معادله بالا (مولفه ۳ مومنوم) بصورت یک معادله برای  $r_1$  بر حسب  $r$  خواهد شد:

$$\frac{d^2 r_1}{dr^2} + \frac{1}{r} \frac{dr_1}{dr} - (\lambda^2 + \frac{1}{r^2}) r_1 = 0 \quad (11)$$

بطوریکه پارامتر  $\lambda$  این چنین تعریف می‌شود:

$$\lambda^2 = \frac{-\rho_0 \omega^2 + k'^2 (B_0^2 / 4\pi - i \omega \eta_{\perp}^1)}{B_0^2 / 4\pi + 1/3 i \omega (\eta_{\parallel}^1 - 4 \eta_{\perp}^1)}$$

معادله ۱۱، معادله تعمیم یافته بسل و جوابهای آن توابع تعمیم یافته بسل از نوع اول و دوم هستند:

$$r_1 = C_1 I_1(\lambda r) + C_2 K_1(\lambda r) \quad (12)$$

از طرف دیگر در ناحیه خلا ( $\vec{j}=0$ ) قانون آمپر در MHD بصورت زیر ساده می‌شود:

$$\vec{\nabla} \times \vec{B}_v = 0 \quad (13)$$

میدان  $B_v$  میبایست تاو ( $\text{curl}$ ) یک پتانسیل برداری نظیر  $\vec{A}$  باشد:

$$\vec{B}_v = \vec{\nabla} \times \vec{A} \quad (14)$$

با ادغام روابط ۱۳ و ۱۴ معادله زیر حاصل می‌گردد:

$$\vec{\nabla} \times (\vec{\nabla} \times \vec{A}) = 0 \quad (15)$$

با بسط طرف سمت راست ۱۵ و استفاده از بیمانه کولمب برای تعیین  $\vec{A}$  خواهیم داشت:

$$\nabla^2 \vec{A} = 0 \quad (16)$$

در خارج پلاسما (خلاء) می باشد. بطور مشابه با بکار بردن روش اختلال و خطی کردن برای معادله ۲۵ و استفاده از روابط ۸، ۹ و ۱۰ و نیز رابطه ۱۹، در نهایت شرط پیوستگی فشار منجر به رابطه دوم زیر برای نسبت  $\frac{C_4}{C_1}$  می گردد:

$$\frac{C_4}{C_1} = \frac{B_{\nu 0} (B' \lambda^3 - A' \lambda) I_0(\lambda a)}{2k' \frac{I_1(k'a)}{I_1(k'b)} \cdot K_1(k'b) - K_0(k'a)} \quad (26)$$

بطوریکه پارامترهای A و B بصورت زیر تعریف شده اند:

$$\begin{cases} A = -\beta \left( \frac{X(1+Y)}{XY-WY-1} \right) - 2(1-\beta) \\ B = \beta \left( \frac{W-X-1}{XY-WY-1} \right) \left( \frac{1}{R} \frac{1}{\rho_0 \omega} \right) \end{cases} \quad (27)$$

در تعاریف ۲۷، پارامتر  $\beta$  برابر نسبت فشار پلاسما به فشار مغناطیسی خارجی در حال تعادل بوده و همچنین پارامترهای  $X$ ،  $Y$  و  $W$  عبارتند از:

$$\begin{cases} X = \frac{\omega^2}{k'^2 R T_0} + \frac{1}{R \rho_0 T_0} \\ Y = \frac{C_{\nu}}{R} + \frac{1}{R} \frac{k'^2 K_{\parallel}^e}{\omega \rho_0} \\ W = 1 - \frac{1}{3R \rho_0 T_0} \end{cases} \quad (28)$$

با مقایسه نتایج معادلات ۲۴ و ۲۶ خواهیم داشت:

$$\left( \frac{I_1(\lambda a)}{I_0(\lambda a)} \right) = \left( \frac{B \lambda^3 - A \lambda}{2k'} \right)$$

$$\left( \frac{I_1(k'a)}{I_1(k'b)} \frac{K_1(k'b) - K_1(k'a)}{I_0(k'a)} \right) \quad (29)$$

معادله ۲۹ که رابطهای بین  $K'$  عدد موج  $\omega$  فرکانس را نشان می دهد. ارتباط پاشندگی موسوم است. به منظور درک چگونگی تغییرات  $K'$  نسبت به  $\omega$ ، در معادله ۲۹ شکلهای حدی توابع بسل را برای شناسه کوچک یعنی  $|K'a| \ll 1$  (طول موج زیاد) نوشته و همچنین جملات شامل وشکسانی و هدایت

با در دست داشتن  $A_{10}$ ، مؤلفه Z دامنه میدان مغناطیسی اختلال یافته در ناحیه خلاء قابل حصول است:

$$\begin{aligned} B_{1\nu z}(r) &= \nabla \times A_1 \Big|_z = \frac{1}{r} \frac{\partial}{\partial r} \\ (r A_{10}) &= C_4 (-k') \left( \frac{K_1(k'b)}{I_1(k'b)} \right. \\ &\quad \left. I_0(k'r) + K_0(k'r) \right) \end{aligned} \quad (21)$$

ج - مؤلفه مماسی میدان الکتریکی در دستگاه سکون پلاسما (دستگاهی که با سرعت  $\vec{V}$  نسبت به آزمایشگاه حرکت می کند) از میان مرز پلاسما و خلاء پیوسته است:

$$\begin{aligned} \hat{n} \times (\vec{E}_{\nu} + \frac{\vec{V}}{c} \times \vec{B}_{\nu}) \Big|_{r=a} \\ = \hat{n} \times (\vec{E} + \frac{\vec{V}}{c} \times \vec{B}) \Big|_{r=a} \end{aligned} \quad (22)$$

اما بنابر قانون اهم در MHD، طرف سمت راست معادله ۲۲ میدان الکتریکی دستگاه سکون پلاسما در داخل پلاسما بوده و صفر است، بنابراین خواهیم داشت:

$$\hat{n} \times (\vec{E}_{\nu} + \frac{\vec{V}}{c} \times \vec{B}_{\nu}) \Big|_{r=a} = 0 \quad (23)$$

با بکار بردن روش اختلال و خطی کردن برای معادله ۲۳، نتیجه زیر پس از انجام جایگزینی های لازم، بسط و خلاصه کردن، بدست می آید:

$$\frac{C_4 B_{\nu 0} I_1(\lambda a)}{C_1 \frac{I_1(k'a)}{I_1(k'b)} K_1(k'b) - K_1(k'a)} \quad (24)$$

د - فشار کل از میان مرز پلاسما و خلاء پیوسته است:

$$(P + P_{int}) \Big|_{r=a} = P_{ext} \Big|_{r=a} \quad (25)$$

که در آن  $P = P R T$  فشار پلاسما و  $P_{int} = \frac{B^2}{8\pi}$  فشار مغناطیسی داخل پلاسما و  $P_{ext} = \frac{B_0^2}{8\pi}$  فشار مغناطیسی

م. صالحی و ص. خاکشورنیا. اثر وشکسانی و هدایت حرارتی پلاسما در میرایی امواج MHD

$$A = \left(\frac{\gamma B + M}{M}\right)^{1/2} \frac{C_{so}^{-1}}{R P_o} \left(\frac{\gamma - 1}{2\gamma^2}\right) + \frac{\beta(\gamma - 1)}{2M\gamma} K_{II}^e$$

$$B = \left(\frac{\gamma B + M}{M}\right)^{1/2} \frac{C_{so}^{-1}}{R P_o} \left(\frac{\beta R}{2M}\right) + \left(\frac{2R}{3\gamma}\right) \eta_{II}^1 \quad (32)$$

$$C = \left(\frac{\gamma B + M}{M}\right)^{1/2} \frac{C_{so}^{-1}}{R P_o} \left(-\frac{\beta(\gamma - 1)}{2\gamma(\beta\gamma + M)}\right)$$

$$\left(\frac{C_{so}^2}{V_A^2} - \frac{\beta(\gamma - 1)}{2M\gamma}\right) K_I^1$$

نتیجه

در واقع معادله ۳۰ بیانگر این حقیقت است که در حضور وشکسانی و هدایت حرارتی پلاسما،  $K^*$  متشکل از دو قسمت است یک قسمت حقیقی که "عدد موج" امواج MHD را نشان می‌دهد و متناسب با فرکانس است و قسمت دوم  $K^*$  موهومی است و ضریب میرایی امواج MHD را مشخص می‌کند. مطابق با معادله ۴۰ ضریب میرایی امواج متناسب با توان دوم فرکانس است، همچنین نقش هر یک از ضرایب وشکسانی و هدایت حرارتی در ضریب میرایی امواج ملاحظه می‌گردد. تنها وشکسانی یون در امتداد عمود بر میدان مغناطیسی یعنی  $\eta_{II}^1$  در عمل خطی کردن نسبت به جملات شامل وشکسانی و هدایت حرارتی پلاسما حذف گردیده است و بنابراین نقشی در میرایی امواج ایفا نمی‌کند. محاسبات عددی نشان می‌دهد که بازای درجه حرارت و  $\beta$  های معین  $K_{II}^e$  بیشترین سهم را در میرایی امواج داراست. بدنبال آن وجود  $\eta_{II}^1$  در میرایی امواج MHD حائز اهمیت است و بالاخره تاثیر  $K_{II}^1$  در میرایی امواج ناچیز و

حرارتی پلاسما را کوچک فرض نموده و از توان دوم به بالای آنها صرفنظر می‌کنیم. در اینصورت پس از انجام عملیات لازم و ساده کردن،  $K^*$  بطور تقریبی خواهد شد:

$$k^* = \pm \left(\frac{\gamma B + M}{M}\right)^{1/2} C_{so}^{-1} \left\{ \omega + 1 - \frac{\omega^2}{R P_o} \right.$$

$$\left. \left\{ \left(\frac{\beta R}{2M} + \frac{2R}{3\gamma}\right) \eta_{II}^1 + \left(\frac{\gamma - 1}{2\gamma^2}\right) + \frac{\beta(\gamma - 1)}{2M\gamma} \right\} K_{II}^e + \left(\frac{\beta(\gamma - 1)}{2\gamma(\beta\gamma + M)}\right) \right.$$

$$\left. \left. \left(\frac{C_{so}^2}{V_A^2} - \frac{\beta(\gamma - 1)}{2M\gamma}\right) K_I^1 \right\} \right\} \quad (30)$$

بطوریکه  $\gamma$  نسبت گرمای ویژه در فشار ثابت به گرمای ویژه در حجم ثابت است. پارامترهای دیگر عبارتند از:

$$M = \frac{2a^2}{b^2 - a^2} + 2(1 - \beta)$$

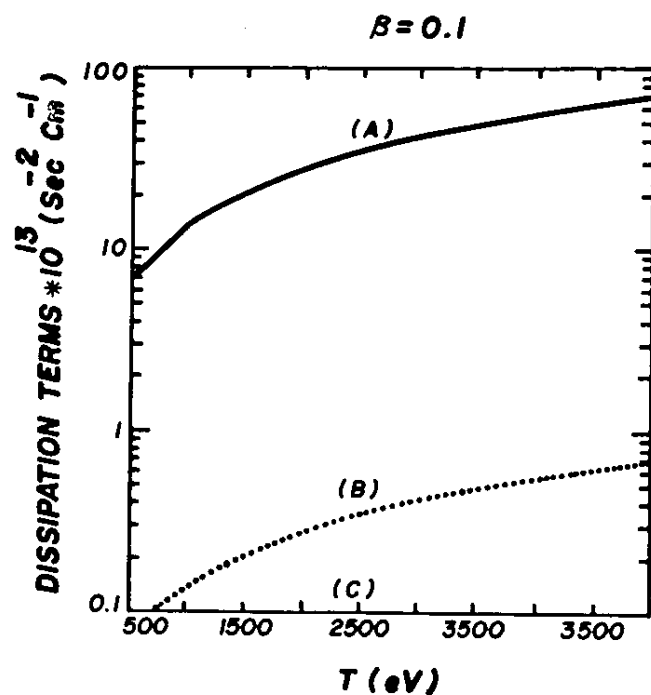
$$C_{so} = (\gamma R T_o)^{1/2}$$

$$V_A = \frac{B_o}{\sqrt{4\pi\rho_o}}$$

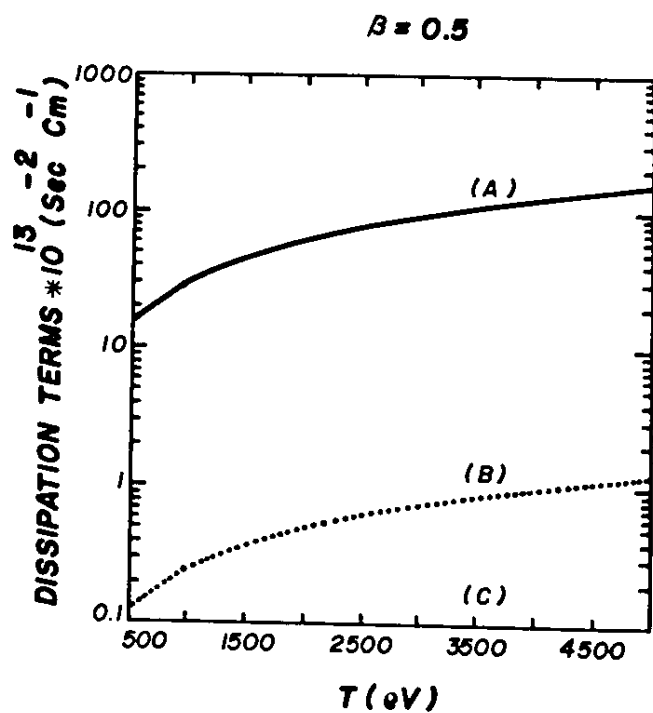
$V_A$  و  $C_S$  به ترتیب سرعت صورت و سرعت آلفن است. برای انجام محاسبات عددی معادله فوق را می‌توان به شکل زیر در آورد:

$$K^* = \pm \left(\frac{\gamma B + M}{M}\right)^{1/2} C_{so}^{-1} \omega + 1 - \omega^2 (B + A + C) \quad (31)$$

که پارامترهای A و B و C به صورت زیر تعریف می‌گردند.



شکل ۲- ضرائب میرائی بر حسب درجه حرارت (ev) برای  $\beta = 0.1$



شکل ۳- ضرائب میرائی بر حسب درجه حرارت (ev) برای  $\beta = 0.5$

$a = 15 \text{ Cm}$  و نسبت  $\frac{a}{D}$  برابر با  $1/3$  تنظیم گردیده است ضمناً " روابط مورد استفاده برای محاسبه  $K_{II}^e$ ،  $\eta_{II}^i$  و  $K_{II}^i$  از مرجع (۷) بدست می‌آید. در خاتمه متذکر می‌گردم که علامت بعلاوه در معادله ۳۰ میراثی امواج MHD را در جهت مثبت Z و علامت منفی میراثی آن را در جهت منفی Z نشان می‌دهد (۲).

قابل صرف نظر کردن است. در تائید نتایج فوق‌الذکر، شکل‌های ۲ و ۳، مقادیر ضرائب  $\omega^2$  در معادله ۳۱ که به ترتیب با A، B و C نمایش داده شده، در درجه حرارت‌های مختلف ( بر حسب الکترون ولت) و برای دو مقدار  $0/1$  و  $0/5$  نشان می‌دهد. این جداول برای پلازماهای دو تریم با دانسیته یون و الکترون  $5 \times 10^{-16} \text{ cm}^{-3}$  و شعاع تعادلی

### References

1. M. A. Salehi, Theory of Collisional Heating in Linear Fusion System, M. S. Thesis, Univ. of Arizona, Tucson, Arizona (1978).
2. S. Khakshornia, Theory of Heating the Plasma in a Long-Linear O-Pinch Reactor by the Axial Wave Damping, M. S. Thesis, Sharif Univ. of Technology, Tehran, Iran (1989).
3. J. D. Jackson, Classical Electrodynamics, John Wiley & Sons (1975).
4. A. I. Akhiezer, Polovin Sitenko, Stepanov, Plasma Electrodynamics, V.1; Linear Theory, Pergamon Press, (1975).
5. W. Stacey, Fusion Plasma Analysis, J. Wiley (1981).
6. D. J. Rose, Plasmas in Controlled Fusion, MIT Press (1961).
7. L. Spitzer, Jr. Physics of Fully Ionized Gases, New York: Interscience Publishers, Inc. (1956).



EFFECT OF THE PLASMA VISCOSITY AND THERMAL CONDUCTIVITY  
ON DAMPING OF THE MHD WAVES

M. A. Salehi and S. Khakshornia  
Nuclear Engineering Section  
Dept. of Mechanical Engineering  
Sharif Univ. of Technology  
Tehran, Islamic Republic of Iran

Abstract

Using the MHD equations, the effect of the plasma viscosity and thermal conductivity coefficients on damping of MHD waves are studied. Also the MHD equation for the long cylindrical plasma column is constructed and solved by using the perturbation theory. Then by applying the boundary conditions, the dispersion relationship of the MHD waves of plasma is obtained. At final, the damping wave coefficients are calculated and compared with each other.